

А К А Д Е М И Я Н А У К С С С Р  
СИБИРСКОЕ ОТДЕЛЕНИЕ  
А В Т О М Е Т Р И Я

№ 2

1972

УДК 621.317.761

А. М. МИШИН  
(Астрахань)

ЦИФРОВОЙ ИЗМЕРИТЕЛЬ ЧАСТОТЫ КАК ФИЛЬТР

Цифровые методы измерения мгновенной частоты частотно-модулированных колебаний нашли широкое применение в современной технике высокоточных измерений. Анализу схемных решений и инструментальных погрешностей измерителей, реализующих эти методы, посвящено значительное число известных работ (например, [1—3]).

Однако чем точнее производится измерение какой-либо физической величины, тем сильнее влияние различного рода помех на результат. В связи с этим все большую актуальность приобретает проблема оценки повышения помехоустойчивости процесса измерения. Несмотря на то, что вопросы помехоустойчивости цифровых измерителей частоты рассматривались в [4, 5], селективные свойства этих устройств как дискретных систем исследованы недостаточно.

**Уравнение цифрового измерителя.** В цифровых измерителях частоты как измеряемая, так и образцовая частоты представляются в форме временных интервалов, сравнение которых позволяет получить число, характеризующее приращение фазы  $\Delta\phi$  измеряемого колебания на величину, кратную  $2\pi$ . Для этого из непрерывного сигнала изменяющейся частоты

$$u(t) = U \cos\left(\int_0^t \omega(t) dt + \psi\right)$$

формируется последовательность узких импульсов (постоянной амплитуды) в моменты прохождения колебания через нуль с производной одного знака. Полученный так называемый фазовый сигнал  $\phi(pT_\omega)$ , квантованный по уровню с шагом  $2\pi$ , используется для формирования интервала измерения

$$T = \sum_{s=p-r}^p T_s.$$

Здесь  $T_s = T_\omega = \frac{2\pi}{\omega}$  — текущий период колебания;  $p$  — целое число.

На рис. 1 показана упрощенная схема цифрового периодометра. Полезная информация на выходе устройства получается в виде числа,

$$N_p = \text{ent}\left[\frac{rF_0}{F_{cp}}\right],$$

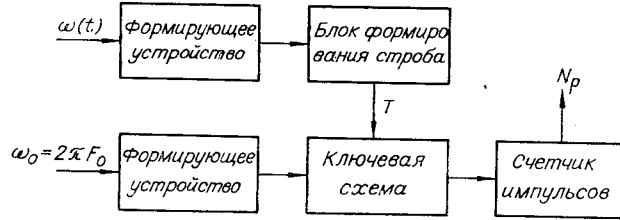


Рис. 1.

где  $r$  — коэффициент усреднения;  $F_0$  — образцовая частота (частота счетной сетки);  $F_{ср}$  — среднее на интервале  $T$  значение измеряемой частоты;  $\text{ent}[x]$  — целая часть  $x$ ;  $p$  — номер измерения (кадра).

В данном измерителе, реализующем фазовый метод измерения частоты [1],  $r=\text{const}$ , а  $T=T(r, T_\omega)$ . При измерении частоты по методу счета нулей (цифровой частотометр) [3]  $T=\text{const}$ ,  $r=r(T, T_\omega)$ . Однако и в том и в другом случае для определения измеряемой частоты используется две величины:  $T$  и накопленное значение фазы  $\Delta\phi=2\pi r$ , связанные соотношением

$$\Phi(pT_\omega) - \Phi[(p-r)T_\omega] = 2\pi r$$

или в более удобной записи ( $r$  предполагается четным числом)

$$\Phi\left(pT_\omega + \frac{T}{2}\right) - \Phi\left(pT_\omega - \frac{T}{2}\right) = 2\pi r. \quad (1)$$

На основании (1) для средней частоты на интервале  $T$  имеем

$$\bar{\omega}(pT_\omega) = \frac{1}{T} \left[ \Phi\left(pT_\omega + \frac{T}{2}\right) - \Phi\left(pT_\omega - \frac{T}{2}\right) \right]. \quad (2)$$

Интересно отметить, что полученное выражение при  $r=1$  ( $T=T_\omega$ ) переходит в известное соотношение, связывающее круговую частоту и период гармонического колебания  $\omega = 2\pi/T_\omega$ . Поэтому можно сказать, что цифровой измеритель реализует операцию численного дифференцирования фазы. Уравнение (2) является дискретным аналогом дифференциально-разностного уравнения вида

$$\alpha \frac{d}{dt} \Phi(t) = \frac{1}{T} \left[ \Phi\left(t + \frac{T}{2}\right) - \Phi\left(t - \frac{T}{2}\right) \right],$$

которому соответствует интегральная форма, известная в теории случайных функций как оператор текущего сглаживания:

$$\bar{\omega}(t) = \alpha \omega(t) = \frac{1}{T} \int_{t-\frac{T}{2}}^{t+\frac{T}{2}} \omega(\tau) d\tau. \quad (3)$$

Здесь  $\omega(t) = \frac{d}{dt} \Phi(t)$ , а  $\alpha$  — некоторый коэффициент (собственное значение функционального оператора).

По аналогии уравнение (2) также может быть представлено в виде

$$\bar{\omega}(pT_\omega) = \frac{1}{r+1} \sum_{s=p-\frac{r}{2}}^{p+\frac{r}{2}} \omega(sT_\omega). \quad (4)$$

Уравнения (2), (4) определяют искомую частоту в дискретные моменты времени  $t = pT_\omega$ . В действительности выборка результатов измерений производится с интервалом дискретности  $T_0$  (на выходе измерителя получаем функцию  $\bar{\omega}(nT_0)$ ;  $n=0,1,2$ ).

В практике высокоточных измерений всегда выполняется условие  $r \gg 1$ , поэтому в (4) допустимо перейти к непрерывному времени  $t$  и сумму заменить интегралом, т. е. перейти к выражению (3). При этом цифровой измеритель частоты целесообразно идентифицировать условной схемой, состоящей из последовательно соединенных квазинепрерывного и дискретного элементов, первый из которых реализует функциональный оператор (3), а второй осуществляет выборку измеренных значений с равномерным шагом  $T_0$ .

**Частотная характеристика интегратора.** Под линейным преобразованием (3) можно подразумевать как чисто математическую операцию, так и адекватную этой операции реальную систему (интегратор).

Характеристики преобразования (3) как процедуры статистической обработки (в дискретном варианте) подробно исследованы в [6]. Однако успешное решение вопросов диагностики измерительных систем связано с анализом структуры выходных сигналов, и, с этой точки зрения, цифровой измеритель частоты целесообразно рассматривать как линейную избирательную систему.

Известно [7], что частотная характеристика устройства, реализующего оператор (3), имеет вид

$$K_u(\Omega) = \frac{2}{\Omega T} \sin \frac{\Omega T}{2}. \quad (5)$$

Если помехи представлены полигармоническим процессом

$$u_n(t) = \sum_{i=1}^k U_{ni} \cos(\omega_i t + \varphi_i),$$

то фаза сигнала при  $\frac{U_{ni}}{U_c} \ll 1$  будет составлять

$$\varphi(t) \approx \int_0^t \omega_c(t) dt + \sum_{i=1}^k \frac{U_{ni}}{U_c} \sin \left( \int_0^t \Omega_i(t) dt + \psi_i \right), \quad (6)$$

где  $\Omega_i(t) = \omega_c(t) - \omega_i$ . Как следует из (6), в рассматриваемом случае спектр амплитуд помех с точностью до постоянного множителя переносится на фазу сигнала. Но амплитуда флюктуаций частоты как производная от фазы пропорциональна частоте  $\Omega_i(t)$ :

$$\omega(t) = \omega_c(t) - \sum_{i=1}^k \frac{U_{ni}}{U_c} \Omega_i(t) \cos \left( \int_0^t \Omega_i(t) dt + \psi_i \right).$$

Таким образом, частотная характеристика измерителя частоты, приведенная к аддитивным помехам, оказывается незатухающей периодической функцией частоты

$$K_u^*(\Omega) = \frac{2}{T} \sin \frac{\Omega T}{2}.$$

Для частотных измерительных систем представляет также интерес динамическая частотная характеристика, учитывающая «переходные»

процессы в цифровом фильтре при воздействии помехи изменяющейся частоты (в частотной области):

$$\Omega_{\text{п}}(t) = \Delta\Omega \cos \int_0^t \Omega(t) dt.$$

Если частота помехи изменяется по линейному закону  $\Omega(t) = \Omega_0 + \beta t$ , то можно воспользоваться известными методами анализа динамических характеристик избирательных систем.

В [8] найдено общее выражение для сигнала на выходе пассивной линейной системы через комплексный динамический коэффициент передачи (динамическую частотную характеристику):

$$\vec{\Omega}_{\text{п}}(t) = \vec{K}_{\text{д}}(\Omega) \vec{\Omega}_{\text{п}}(t).$$

Для рассматриваемого случая

$$\vec{K}_{\text{д}}(\Omega) = \frac{\vec{\Omega}_{\text{п}}(t)}{\vec{\Omega}_{\text{п}}(t)} = \frac{1}{T} \int_{-\frac{T}{2}}^{\frac{T}{2}} \exp(-j\Omega\tau) \exp\left(j\frac{\beta\tau^2}{2}\right) d\tau.$$

Разложив член  $\exp\left(j\frac{\beta\tau^2}{2}\right)$  в ряд Маклорена, получим

$$\vec{K}_{\text{д}}(\Omega) = \vec{K}(\Omega) + \sum_{n=1}^m (-j)^n \frac{\beta^n}{2^n n!} \frac{d^{2n} \vec{K}(\Omega)}{d\Omega^{2n}} + \kappa,$$

где  $\kappa$  — остаточный член разложения;  $\vec{K}(\Omega) = K_{\text{и}}(\Omega)$ . Для не слишком больших значений  $\beta$  сохраним только три первых члена ряда ( $m=2$ ). Тогда

$$\vec{K}_{\text{д}}(\Omega) \approx \vec{K}(\Omega) - j \frac{\beta}{2} \frac{d^2 \vec{K}(\Omega)}{d\Omega^2} - \frac{\beta^2}{8} \frac{d^4 \vec{K}(\Omega)}{d\Omega^4}. \quad (7)$$

Погрешность модуля выражения (7) не больше модуля  $(m+1)$ -го члена разложения, т. е. остаточный член

$$\Delta |\vec{K}_{\text{д}}(\Omega)| \leq \frac{\beta^3}{48} \left| \frac{d^6 \vec{K}(\Omega)}{d\Omega^6} \right|.$$

Используя [5] и обозначив  $\lambda = \Omega T / 2$ , динамическую частотную характеристику интегратора запишем в виде (предполагаем  $T = \text{const}$ )

$$\begin{aligned} \vec{K}_{\text{д}}(\Omega) &= \frac{\sin \lambda}{\lambda} - \frac{\beta^2 T^4}{16} \left[ \frac{\sin \lambda}{\lambda} \left( \frac{3}{\lambda^4} - \frac{3}{2\lambda^2} + \frac{1}{8} \right) - \frac{\cos \lambda}{\lambda^2} \left( \frac{3}{\lambda^2} - \frac{1}{2} \right) \right] - \\ &- j \frac{\beta T^2}{4} \left[ \frac{\sin \lambda}{\lambda} \left( \frac{1}{\lambda^2} - \frac{1}{2} \right) - \frac{\cos \lambda}{\lambda^2} \right], \end{aligned}$$

модуль которой

$$\begin{aligned} K_{\text{д}}(\Omega) &= |\vec{K}_{\text{д}}(\Omega)| = \sqrt{\left| \frac{\sin \lambda}{\lambda} - \frac{\beta^2 T^4}{16} \left[ \frac{\sin \lambda}{\lambda} \left( \frac{3}{\lambda^4} - \frac{3}{2\lambda^2} + \frac{1}{8} \right) - \frac{\cos \lambda}{\lambda^2} \times \right. \right.} \\ &\rightarrow \left. \left. \times \left( \frac{3}{\lambda^2} - \frac{1}{2} \right) \right] \right|^2 + \frac{\beta^2 T^4}{16} \left[ \frac{\sin \lambda}{\lambda} \left( \frac{1}{\lambda^2} - \frac{1}{2} \right) - \frac{\cos \lambda}{\lambda^2} \right]^2} \end{aligned} \quad (8)$$

и аргумент

$$\psi_d(\Omega) = \operatorname{arctg} \frac{\frac{\beta T^2}{4} \left[ \frac{\sin \lambda}{\lambda} \left( \frac{1}{\lambda^2} - \frac{1}{2} \right) - \frac{\cos \lambda}{\lambda^2} \right]}{\frac{\sin \lambda}{\lambda} - \frac{\beta^2 T^4}{16} \left[ \frac{\sin \lambda}{\lambda} \left( \frac{3}{\lambda^4} - \frac{3}{2\lambda^2} + \frac{1}{8} \right) - \frac{\cos \lambda}{\lambda^2} \left( \frac{3}{\lambda^2} - \frac{1}{2} \right) \right]}.$$

Чтобы оценить допустимые пределы использования полученных выражений, найдем отношение модулей  $(m+1)$ -го члена разложения к предыдущему члену  $m$  для двух случаев:  $\lambda=0$  и  $\lambda=\pi$ . После выполнения нескольких громоздких расчетов получим:  
Здесь  $\gamma = \beta T^2$  — безразмерный параметр, характеризующий изменение частоты на интервале усреднения.

Как видим, при значении  $\lambda=\pi$  ограничения на величину  $\gamma$  менее жесткие, что достаточно очевидно из интуитивных соображений. Осточетным членом  $\Delta |\vec{K}_d(\Omega)|$  можно пренебречь, если он по модулю меньше максимума последнего члена разложения. Другими словами, формулу (7) допустимо использовать при условии  $\gamma/34 < 1$  или  $\gamma < 34$ . При этом с увеличением  $\lambda$  точность ее возрастает.

Графики модуля динамической частотной характеристики (8) для нескольких значений параметра  $\gamma$  показаны на рис. 2, а, б.

Проведенный анализ позволяет сделать определенные выводы в отношении структуры выходного сигнала и динамических селективных свойств интегрирующей части измерителя. При значениях  $\gamma$ , не превышающих нескольких единиц, допустимо пренебречь членами высшего порядка в разложении (7), т. е. достаточную точность обеспечивает квазистационарный метод расчета. В этом случае огибающая выходного сигнала повторяет форму статической частотной характеристики (5). При больших значениях параметра  $\gamma$  частотная характеристика претерпевает существенные изменения, в частности при  $\gamma=12$ , как следует из рис. 1, б, полностью разрушается ее периодическая структура. Соответственно изменяются и селективные свойства измерителя частоты.

**Частотные соотношения при дискретизации.** Другой особенностью цифровых измерителей, определяющей их избирательные свойства,

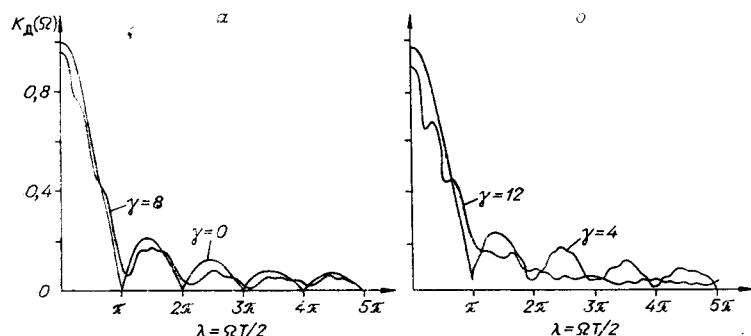


Рис. 2.

является упомянутая выше операция выборки отдельных значений частоты  $\bar{\omega}(pT_\omega)$  с интервалом дискретности измерений  $T_0$ . Подобная операция в физическом отношении эквивалентна импульсному фильтру.

Так как в действительности  $T_\omega \ll T_0$  при данном рассмотрении также можно считать  $\bar{\omega}(pT_\omega) \approx \bar{\omega}(t)$ . Последовательность дискретных значений непрерывной функции  $\bar{\omega}(t)$ , взятых с шагом  $T_0$ , образует функцию  $\tilde{\omega}(nT_0)$ , связанную с исходной:

$$\tilde{\omega}(nT_0) = \int_0^T \sum_{n=-\infty}^{\infty} \bar{\omega}(t) \delta(t - nT_0) dt,$$

где  $\delta(t - nT_0)$  — дельта-функция Дирака. Формально такая операция расширяет спектр сигнала до бесконечности. Но в информативном смысле дискретная выборка характеризуется значениями частот в интервале от  $-\pi/T_0$  до  $\pi/T_0$ , т. е. той частью спектра, которая может быть восстановлена в соответствии с теоремой об отсчетах Котельникова.

Предполагая восстановление непрерывного сигнала путем интерполяции, будем считать, что эта процедура эквивалентна пропусканию дискретного сигнала через идеальный безынерционный фильтр с характеристикой

$$K_\Phi(\Omega) = \begin{cases} K_0 & \text{при } |\Omega| \leq \frac{\pi}{T_0}; \\ 0 & \text{при } |\Omega| > \frac{\pi}{T_0}. \end{cases} \quad (9)$$

Подобная дискретная система обладает частотной характеристикой

$$K_0(\Omega) = \frac{1}{T_0} \sum_{n=-\infty}^{\infty} K_\Phi\left(\Omega - \frac{2\pi}{T_0}n\right).$$

Результирующая частотная характеристика цифрового измерителя частоты определяется произведением соответствующих характеристик интегратора и дискретно-восстанавливающей части:

$$K(\Omega) = K_n(\Omega) K_0(\Omega) = K_n(\Omega) \frac{1}{T_0} \sum_{n=-\infty}^{\infty} K_\Phi\left(\Omega - \frac{2\pi}{T_0}n\right).$$

С учетом выражений (5), (9) окончательно получим

$$K(\Omega) = \frac{K_0}{\Omega T T_0} \sin \frac{\Omega T}{2} \sum_{n=-\infty}^{\infty} \left\{ \operatorname{sgn} \left[ \Omega - \frac{2\pi}{T_0} \left( n - \frac{1}{2} \right) \right] - \operatorname{sgn} \left[ \Omega - \frac{2\pi}{T_0} \left( n + \frac{1}{2} \right) \right] \right\}. \quad (10)$$

Анализ выражения (10) показывает, что полоса пропускания цифрового измерителя частоты определяется частотной характеристикой интегратора, которая за счет дискретизации и последующего восстановления сигнала периодически трансформируется в интервал частот  $|\Omega| \leq \frac{\pi}{T_0}$ . Характеристика  $K_n(\Omega)$  как бы «сложена» гармошкой

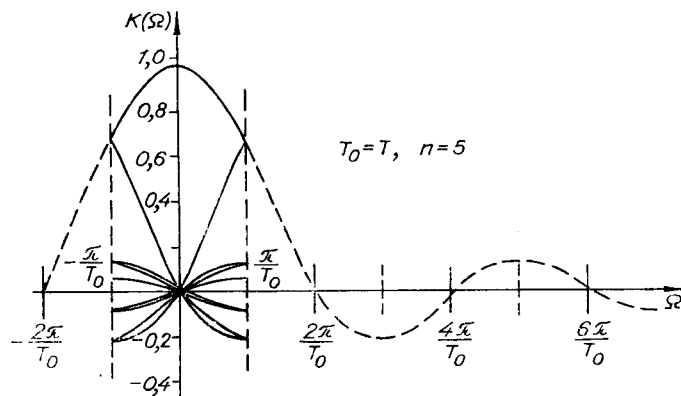


Рис. 3.

с перегибами оси частот в точках  $\pm n\pi/T_0$ , так что монотонно перестраиваемая частота  $|\Omega|$  совершает в пределах  $0 \leq |\Omega| \leq \frac{\pi}{T_0}$  возвратно-поступательные колебания с периодом  $2\pi/T_0$ .

Частотная характеристика  $K(\Omega)$  для случая  $T_0=T$  изображена на рис. 3. Для затухающей по амплитуде характеристики  $K_i(\Omega)$  достаточную для практических расчетов точность обеспечивает учет  $n=5T_0/T$  членов суммы в выражении (10). Аналогичные построения можно сделать для динамической частотной характеристики  $K_d(\Omega)$ , а также для приведенной характеристики  $K^*(\Omega)$ .

Структуру сигнала на выходе цифрового периодометра ( $T=0,20$  с;  $T_0=0,25$  с) иллюстрирует график линейно интерполированных дискрет (рис. 4), характеризующий погрешность измерения частоты  $\omega_c(t)$  при воздействии гармонической помехи:

$$\begin{aligned} \omega(t) = \omega_c(t) + \Omega_p(t) &= \omega_0 + \beta t + \theta (\Omega_0 + \beta t) \times \\ &\times \sin \left( \Omega_0 t + \frac{\beta}{2} t^2 \right), \end{aligned} \quad (11)$$

где  $\theta = \frac{U_n}{U_c}$ . Начальная расстройка  $\Omega_0=210$  рад/с, скорость изменения частоты полезного сигнала (помехи)  $\beta=2,95$  рад/с<sup>2</sup>.

На графике рис. 4 отчетливо видна амплитудная модуляция сигнала ошибки, обусловленная периодической структурой приведенной частотной характеристики интегратора  $K^*(\Omega)$ , а также периодическая

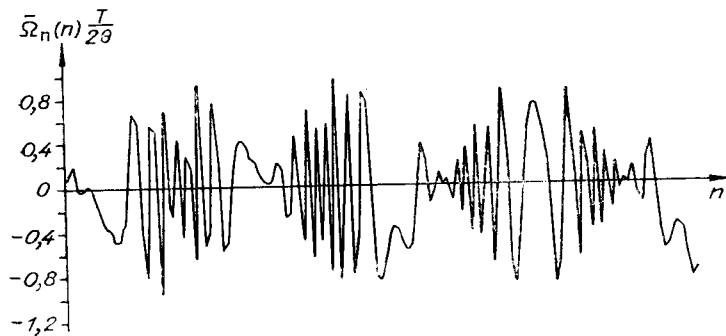


Рис. 4.

частотная модуляция симметричным пилообразным напряжением за счет стробоскопического эффекта.

Сумма ординат  $|K(\Omega)|$  (см. рис. 3), по-видимому, соответствует трансформированному амплитудному спектру, равномерному на входе измерителя частоты, вид которого существенно зависит от соотношения  $T_0$  и  $T$ . При анализе спектра погрешностей измерения с целью выявления источников помех следует учитывать, что на выходе измерителя могут наблюдаться низкочастотные гармоники, совершенно отсутствующие в спектре входного сигнала [9].

**Заключение.** Цифровой измеритель частоты, реализующий операцию численного дифференцирования фазы, представляет собой разомкнутую линейную систему, которая в частотной области выполняет функции интегратора и импульсного фильтра.

Результирующая частотная характеристика измерителя частоты является сложной периодической функцией частоты (в частотной области): частотная характеристика интегратора (периодическая) за счет стробоскопического эффекта оказывается периодически свернутой в пределах значений частот  $|\Omega| \leq \frac{\pi}{T_0}$ . Соответствующая трансформация спектра входного сигнала существенно затрудняет распознавание структуры помех.

Помехоустойчивость цифрового измерителя частоты в отношении аддитивных помех определяется приведенной частотной характеристикой интегратора  $K_i^*(\Omega)$ , являющейся незатухающей периодической функцией частоты. Если скорость изменения частоты паразитной модуляции измеряемой частоты  $\beta > 2/T^2$ , следует учитывать «переходные» процессы в интеграторе и использовать понятие динамической частотной характеристики. При значениях  $\approx 12/T^2$  периодическая структура характеристики  $K_i(\Omega)$  разрушается, что ограничивает возможности выявления скрытой периодичности по отношению к сигналам вида (11).

В заключение автор выражает глубокую благодарность канд. техн. наук И. Н. Гольдштейну за полезное обсуждение ряда вопросов.

#### ЛИТЕРАТУРА

1. С. М. Рубчинский, А. А. Васильев и др. Об измерении мгновенной частоты частотно-модулированных колебаний.—Радиотехника и электроника, 1956, т. 1, № 7.
2. Р. А. Валитов, Г. П. Вихров. Погрешности цифровых измерителей интервалов времени и повышение их точности методом усреднения.—Измерительная техника, 1963, № 4.
3. А. В. Чижов, Б. Н. Добжинский. О погрешностях измерения изменяющейся частоты методом счета нулей.—Радиотехника, 1964, т. 20, № 1.
4. А. М. Телицин. Помехоустойчивость фазового метода измерения частоты.—Материалы I научно-технической конференции, посвященной Дню радио, ВАИА им. Ф. Э. Дзержинского, 1960.
5. А. М. Мишин. Погрешности за счет дискретных помех при измерении частоты фазовым методом.—Радиотехника, 1966, т. 21, № 7.
6. В. М. Ефимов. Квантование по времени при измерении и контроле. М., «Энергия», 1969.
7. Н. Г. Гаткин, В. А. Геранин, М. И. Карновский. Интеграторы в системах измерения. Киев, Гостехиздат УССР, 1963.
8. И. Т. Турбович. Динамические частотные характеристики избирательных систем.—Радиотехника, 1957, т. 12, № 11.
9. Капеллини. Цифровая фильтрация при наличии частотного сдвига спектра сигнала, подвергнутого выборке.—ТИИЭР, 1969, т. 57, № 2.

Поступила в редакцию  
11 ноября 1971 г.